

В. М. ШЕВКО, Б. А. КАПСАЛЯМОВ, Е. Я. КАЛАШНИКОВ

ТЕРМОДИНАМИЧЕСКОЕ МОДЕЛИРОВАНИЕ ВЫСОКОТЕМПЕРАТУРНОГО РАЗЛОЖЕНИЯ СУЛЬФАТА КАЛЬЦИЯ

При дигидратном способе производства экстракционной фосфорной кислоты на 1 т P_2O_5 в кислоте получается (считая на сухой дигидрат) 6,58 т фосфогипса при переработке каратауских фосфоритов (24,5% P_2O_5) [1]. Количество фосфогипса, полученного при производстве экстракционной фосфорной кислоты, постоянно растет. В соответствии с [2] ориентировочное количество фосфогипса, находящегося в отвалах предприятий бывшего Союза, составило 108,4 млн т, а в 2000 г. прогнозное количество фосфогипса – не менее 325 млн т.

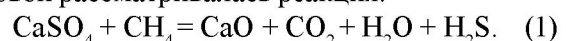
В США рост производства фосфогипса за 1990–2000 гг. увеличился на 58%. Повышение удельного веса фосфогипса отмечается и в последние годы. Аналогичная тенденция наблюдается в Европейском сообществе, здесь производство фосфогипса увеличилось в 2,7 раза. Из 10,6 млн т фосфогипса 7 млн т произведено в Германии [3].

Известны работы по получению из фосфогипса вяжущих материалов, строительного гипса, элементной серы, извести и карбоната кальция.

Промышленная переработка фосфогипса на серную кислоту и цемент освоена фирмой «Хеми Ленц А. Г.» (Австрия) [1]. Промышленная переработка фосфогипса в Казахстане пока еще не освоена. Причем в мировой практике до настоящего времени отсутствует промышленная переработка фосфогипса на известь и серную кислоту.

В настоящей работе приведены результаты исследований термодинамического моделирования возможности получения CaO из $CaSO_4$ в присутствии CH_4 , C , NH_3 , CO_2 , N_2 , CO , H_2 , H_2S , которые совместно с ранее опубликованной нашей работой [4] позволяют определить реакционную способность по отношению к $CaSO_4$. Исследования проводили с использованием программного комплекса «Астра», основанного на принципе максимума энтропии [5].

При изучении системы $CaSO_4$ - nCH_4 в качестве базовой рассматривалась реакция:



Кроме того, рассмотрены системы с числом молей CH_4 (n) 0,125; 0,25; 0,375; 0,5, 1,0 и 2,0. На рис. 1, а приведена информация о степени пере-

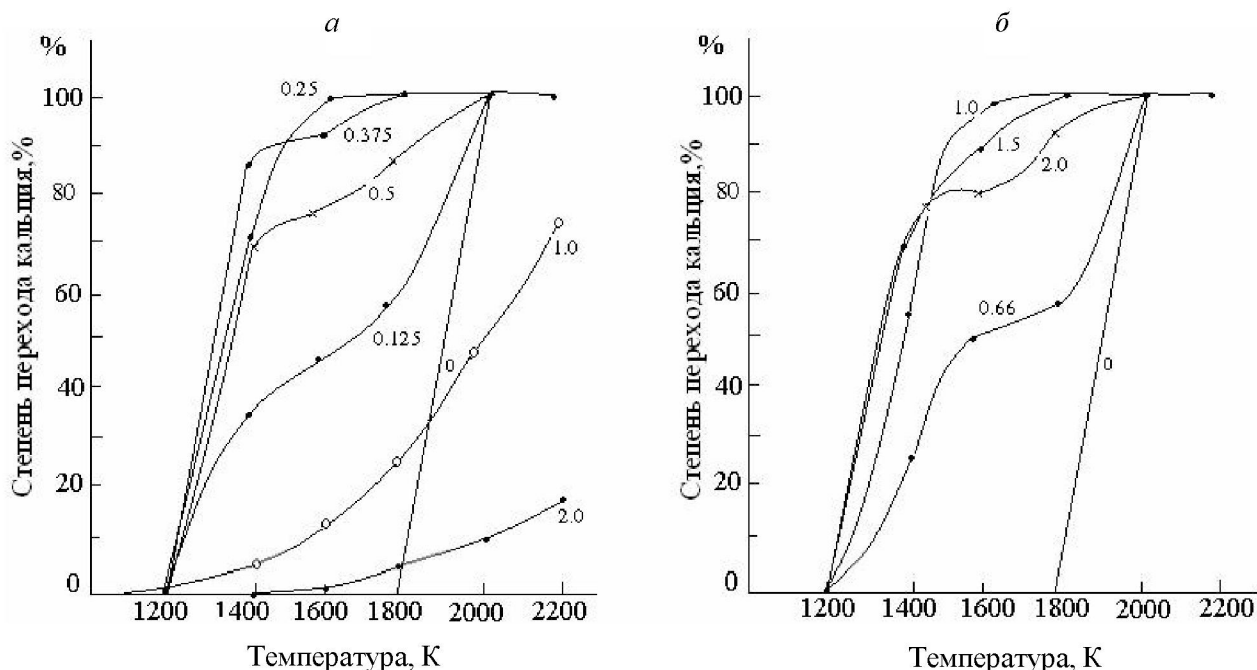
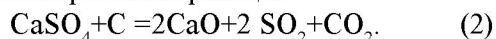


Рис. 1. Влияние температуры и числа молей восстановителей на степень перехода Ca из $CaSO_4$ в CaO в системах $CaSO_4$ - nCH_4 (а) и $CaSO_4$ - mC (б). Цифры на графиках – числа молей CH_4 и C

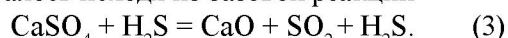
хода (α) Са из CaSO_4 в CaO в системе $\text{CaSO}_4\text{-nCH}_4$ с различным количеством n . Как следует из рис. 1, а, замеченная степень перехода α Са в CaO (не зависит от числа молей n) происходит при температуре $T > 1200$ К. При $n=1$ (реакция 1) до 2220К α Са в CaO не превышает 75%. При избытке CH_4 ($n=2$) α Са в CaO снижается до 14,6% ($T=2200$ К). При $n=0,125, 0,25, 0,375$ и $0,5$ процесс становится более интенсивным. Причем более эффективен он при $n=0,25$. В этом случае α Са в CaO составляет 100% при $T = 1600$ К и 90,3% при $T = 1500$ К.

В системе $\text{CaSO}_4\text{-mC}$ в качестве базовой реакции рассматривалась реакция

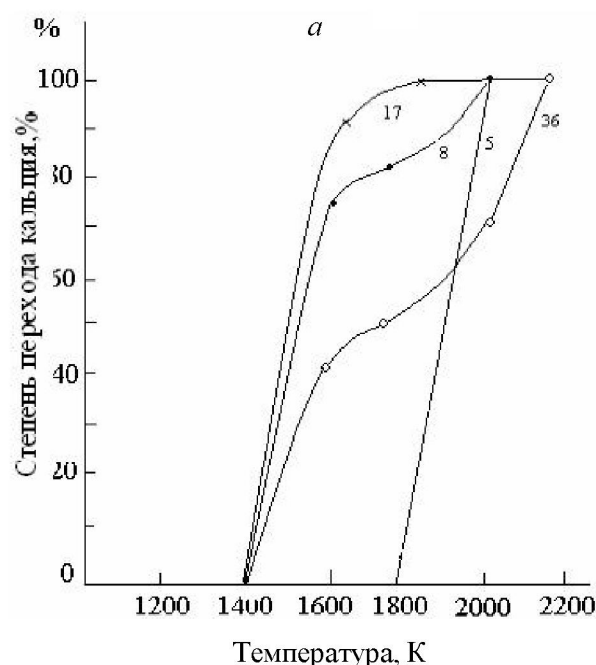


Кроме того, рассмотрены системы с числом молей углерода m , равным 0,5; 0,66; 1,5; 2,0. Как следует из рис. 1, б, наиболее эффективно и полно (при меньшей T) взаимодействие протекает при $m=1$ (реакция 2). При $T=1600$ К α Са в CaO равна 100%, а при $T=1500$ К % α Са – 93,1%.

В системе $\text{CaSO}_4\text{-tH}_2\text{S}$ взаимодействие рассматривалось исходя из базовой реакции

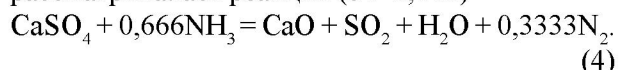


Для определения влияния H_2S на процесс число молей t изменялось от 0,15 до 1,0. Как следует из рис. 2, а, при отклонении t от 1 α Са в CaO уменьшается при постоянной температуре.



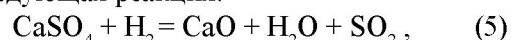
Наиболее эффективен при $t=0,5$ (реакция 3). При этом α Са в CaO равна 100% при $T = 1800$ К.

Информация о влиянии температуры и количества NH_3 на α Са в CaO в системе $\text{CaSO}_4\text{-fNH}_3$ приведена на рис. 2, б. Здесь в качестве базовой рассматривалась реакция (с $f=0,666$)



Из рис. 2 следует, что при отклонении f от 0,666 процесс становится неэффективным. При этом степень достижения α Са в CaO приближается к 100% и перемещается в зону больших температур.

При определении влияния водорода на α Са в CaO из CaSO_4 в качестве базовой рассматривалась следующая реакция:



в которой j (число молей H_2) составляло 1. Кроме того, рассматривалось взаимодействие в системе $\text{CaSO}_4\text{-jH}_2$ с $j=0,5, 1,0, 1,5$ и $2,0$. Полученная α Са в CaO приведена на рис. 3, из которого следует, что при избытке водорода ($j=1,5$ и 2) интенсивное образование CaO наблюдается уже при $T=1400$ К (при $j=1,5$ на 85,4% и при $j=2$ на 70,2%). При увеличении температуры более 1400К более эффективным становится процесс с $j=1$, который завершается приблизительно на 100% при $T=1600$ К.

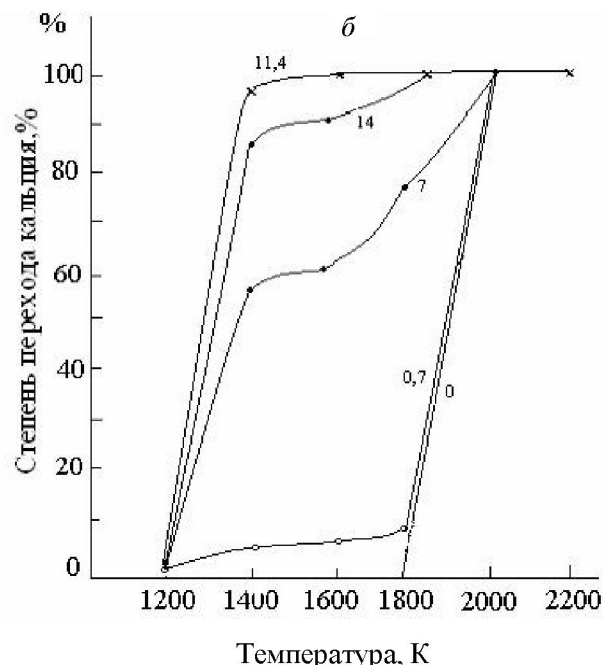


Рис. 2. Влияние температуры и числа молей восстановителей на степень перехода Са из CaSO_4 в CaO в системах $\text{CaSO}_4\text{-rH}_2\text{S}$ (а) и $\text{CaSO}_4\text{-fNH}_3$ (б)

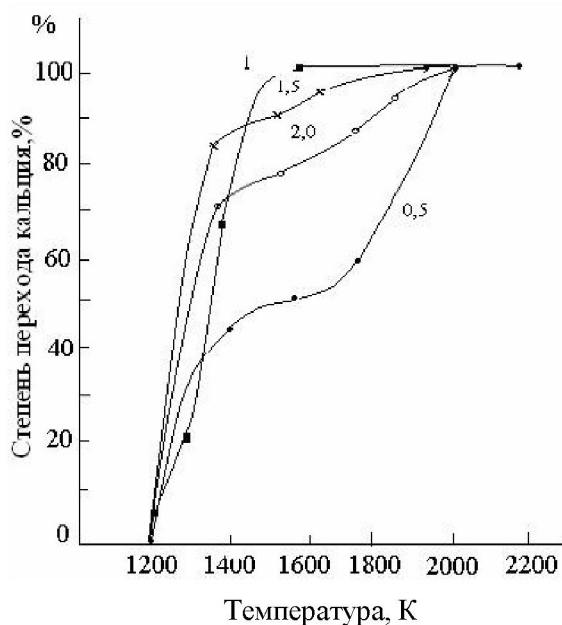


Рис. 3. Влияние температуры и числа молей на степень перехода Ca из CaSO_4 в CaO в системе $\text{CaSO}_4 + j\text{H}_2$. Цифры на графиках – числа молей H_2

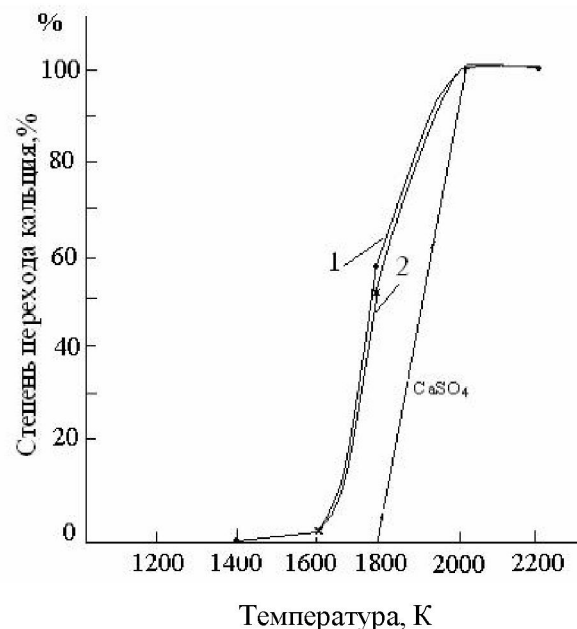


Рис. 4. Влияние температуры, CO_2 , N_2 на степень перехода Ca из CaSO_4 в CaO .
1 – CO_2 , 2 – N_2

В присутствии CO_2 (рис. 4) в системе $\text{CaSO}_4 - \text{CO}_2$ αCa в CaO при $T=1800\text{K}$ составляет $57,2\%$, при $T=1600\text{K}$ – $2,3\%$, при $T=1400\text{K}$ – $0,09\%$. Подобно влияет и N_2 на взаимодействие в системе $\text{CaSO}_4 - \text{N}_2$. αCa в CaO здесь составляет при $T=1800\text{K}$ $52,8\%$, $T=1600\text{K}$ – $2,6\%$, $T=1400\text{K}$ – $0,06\%$.

На рис. 5 приведена обобщенная информация о влиянии температуры и различных добавок к CaSO_4 для получения CaO , из которого следует,

что при $T=1600\text{K}$ αCa в $\text{CaO} \approx 100\%$ может быть достигнуто в присутствии NH_3 , CH_4 , С и H_2 . Для достижения αCa в CaO не менее 95% можно использовать NH_3 (в температурной области $1400-1600\text{K}$), CO (в температурной области $1500-1600\text{K}$), H_2 (в температурной области $1500-1600\text{K}$) и С при $T \geq 1600\text{K}$. При $T=1400\text{K}$ реакционная способность добавок располагается в ряд: $\text{NH}_3 > \text{CO} > \text{CH}_4 > \text{C} > \text{H}_2 > \text{H}_2\text{S} > \text{CO}_2 > \text{N}_2$.

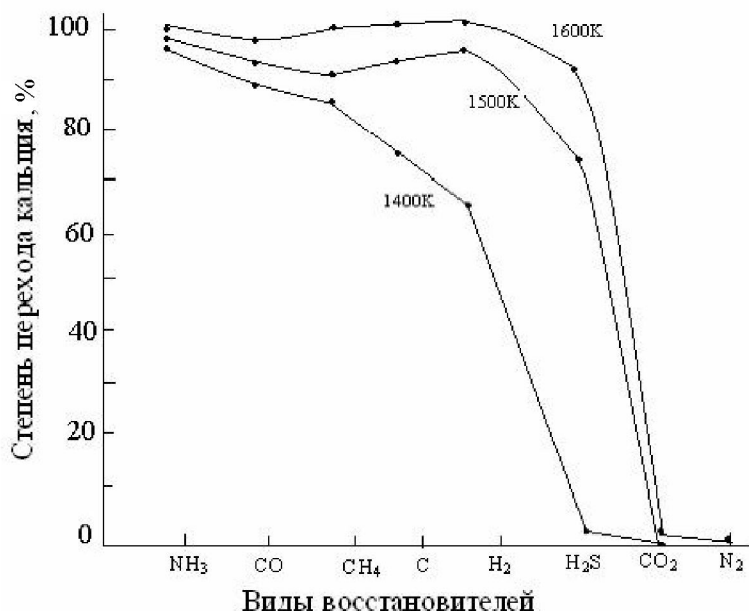


Рис. 5. Зависимость степени перехода Ca из CaSO_4 в CaO от температуры в присутствии различных добавок

ЛИТЕРАТУРА

1. Андреев М.В., Бродский А.А. и др. Технология фосфорных и комплексных удобрений / Под ред. Эвенчик С. Д. и Бродского А. А. М.: Химия, 1987. 464 с.
2. Новиков А.А., Эвенчик С.Д. // Труды НИУИФ “Использование фосфогипса в народном хозяйстве”. 1983. Вып. 243. С. 7-17.
3. Нисневич М., Сиротин Г. Утилизация попутных продуктов горения угля в промышленности строительных материалов // Строительные материалы. 2003 . №9. С. 39-41.
4. Шевко В.М., Калашников Е.В., Кансалимов Б.А. Возможности получения CaO при взаимодействии CaSO_4 с H_2 , C, CO, CH_4 // Труды Международной научно-практической конференции «Ауезовские чтения-4» и третьей научной конференции вузов Южного региона. Шымкент, 2004. С. 99-103.
5. Синярев Б.Г. и др. Применение ЗВМ для термодинамических расчетов металлургических процессов. М.: Наука, 1982. 263 с.

Резюме

Термодинамикалық модельдеу көмегімен жоғарғы температурада кальций сульфатының ыдырауы зерттелінді. Әр түрлі қоспалар арқылы CaSO_4 -дан CaO алу туралы жалпы ақпарат берілген. T=1400K кезінде қоспалардың реакциялық қабілеті теменделгі қатар арқылы реттеленетін көрсетілген: $\text{NH}_3 > \text{CO} > \text{CH}_4 > \text{C} > \text{H}_2 > \text{H}_2\text{S} > \text{CO}_2 > \text{N}_2$.

Summary

The process of thermodynamical modeling of high temperature dissolution of sulphat of calcium is investigated in the article. General information on influence of temperature and various additions to CaSO_4 needed to produce CaO is given. At T=1400K ability of additions to react is formed as follows: $\text{NH}_3 > \text{CO} > \text{CH}_4 > \text{C} > \text{H}_2 > \text{H}_2\text{S} > \text{CO}_2 > \text{N}_2$.

УДК 661.634.2.002.68

ЮКГУ им. М. Ауэзова, г. Шымкент;

МКТУ им. Х. А. Ясави, г. Кентай;

«Казхиминвест», г. Тараз

Поступила 3.06.06г.